

181988

دانشگاه شهید بهشتی

وزارت علوم، تحقیقات و فناوری

دانشگاه شهید بهشتی

پژوهشکده لیزر و پلاسما

رساله جهت اخذ درجه دکتری Ph.D

رشته / گرایش

فotonیک

عنوان

اندازه‌گیری فشار بالا و دما با استفاده از حسگرهای فابری-پرو و

فوتونیک کریستال فیبر نوری

استاد راهنما

دکتر حمید لطیفی

استاد مشاور

دکتر فرامرز فرهی

نگارنده

سید هاشم عارف

ماه / سال

۱۳۸۹/۷/۲۴

سخن اهدایات مدنی هنری
عشرین

نیمسال دوم سال تحصیلی ۸۸-۸۷



دانشگاه شهید بهشتی

نام و پیش نام و پیش
نام و پیش نام و پیش

بسمه تعالیٰ صور تجلیسه دفاع از رساله دکتری

تهران ۱۳۹۶/۱۱/۱۳ اوین بازگشت به مجوز دفاع شماره ۸۸/۱۰/۱۳/۵/۲۰۰/۱۰۶۷۷ مورخ ۱۳۵۶ آقای سید هاشم عارف فرزند سید عباس به شناسنامه شماره ۱۱۰۵۷ صادره از قم متولد

تفن: ۲۹۹۰۱

دانشجوی دوره دکتری رشته فوتونیک با عنوان:

"اندازه‌گیری فشار بالا و دما با استفاده از سنسورهای فابری پرو و فوتونیک کریستال فیبر

نوری"

به راهنمایی دکتر حمید لطیفی

و مشاورت دکتر فرامرز فرجی

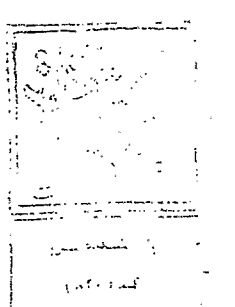
طبق دعوت قبلی در تاریخ ۸۸/۱۰/۱۳ تشکیل گردید و براساس رأی هیأت داوران و باعنایت به ماده

۲۱، ۲۲ و ۲۳ و تبصره های مربوطه مندرج در آئین نامه دکتری مورخ ۷۲/۱۲/۸ رساله مذبور

با نمره ۱۴۹ و درجه بکار مورد تصویب قرار گرفت.

همایشگاه	نام و نام خانوادگی	درجه دانشگاهی	امضاء
استاد راهنمای	حمید لطیفی	استاد	
استاد مشاور	فرامرز فرجی	استاد	
دانشگاه از دانشگاه	رضا مسعودی	دانشیار	
دانشگاه از دانشگاه و نماینده تحصیلات تکمیلی	عز الدین مهاجرانی	دانشیار	
دانشگاه از دانشگاه خارج	رسول ملک فر	دانشیار	
دانشگاه از دانشگاه خارج	محمدحسین قزل ایاغ	استادیار	

ناظر تحصیلات تکمیلی دانشگاه:



اقرار و تعهدنامه

اینجانب سید هاشم عارف دانشجوی مقطع دکتری دانشگاه شهید بهشتی، پژوهشکده لیزر و پلاسما، رشته فوتونیک رساله حاضر را بر اساس مطالعات و تحقیقات شخصی خود انجام داده و در صورت استفاده از داده‌ها، مأخذ، منابع به طور کامل به آن ارجاع داده‌ام. این رساله پیش از این به هیچ وجه در مرجع رسمی یا غیر رسمی دیگری به عنوان گزارش یا طرح تحقیقاتی عرضه نشده است. در صورتی که خلاف آن ثابت شود، درجه دریافتی اینجانب از اعتبار ساقط شده، و عواقب و نتایج حقوقی حاصله را می‌پذیرم.

تاریخ ۱۳/۱۰/۸۸

امضاء

بسم الله الرحمن الرحيم

خدای را شاکرم که در سایه سار توجهات ولی عصر (عج)، به من توفیق کسب علم و معرفت داد و امید را در دل من همیشه زنده نگه داشت تا بتوانم تمامی دوره‌های تحصیلی را با موفقیت طی کنم. امیدوارم همیشه مرا در راه کسب علم و نشر آن توفیق روز افزون عطا فرماید.

اکنون که رساله دکتری خود را با موفقیت به اتمام رسانده‌ام، بر خود لازم می‌دانم تا از زحمات استاد ارجمند جناب آقای دکتر لطیفی که بعنوان استاد راهنمای اینجانب، مرا در انجام این رساله یاری نمودند، کمال تشکر و قدردانی را بنمایم. همچنین از راهنمایی‌ها و دلسوzi‌های استاد مشاور عزیزم جناب آقای دکتر فرهی تشکر و قدردانی می‌نمایم.

همچنین بر خود لازم می‌دانم از جناب آقای دکتر *Jose Luis Santos* و دانشجوی دکتری آقای *Orlando Frazão* که مرا در طی تحقیقات نه ماهه در کشور پرتغال در مؤسسه *INESC* در دانشگاه *Porto* با ایجاد فضای علمی مناسب، مرا در تکمیل رساله یاری نمودند تشکر و قدردانی نمایم.

بر خود لازم می‌دانم از تمامی اعضای هیات علمی، کادر آموزشی و کارمندان پژوهشکده لیزر و پلاسما به ویژه آقای امینی، مسئول کارگاه تراشکاری پژوهشکده، که با ایجاد فضای صمیمی و علمی در محیط پژوهشکده، محیطی مناسب برای دانشجویان فراهم نموده‌اند، تشکر و قدردانی نمایم.

بخشی از پژوهش رساله با کمک‌های مالی شرکت نفت و گاز پارس انجام شده که در اینجا مراتب سپاس و قدردانی خودم را به مسئولین شرکت و مهندس علوی و سرکار خانم مهندس خرم اعلام می‌دارم.

همچنین بر خود لازم می‌دانم از همکاران آزمایشگاهی و خستگی ناپذیرم، آقایان زیبایی، طرقی، خیری و پور بیرام و خانم‌ها افشاری، نوری و احمدلو که مرا در انجام این رساله یاری نمودند، تشکر و قدردانی نمایم.

با کمال احترام و قدردانی

تقدیم به پدر و مادر عزیزم،

همسر خوب و مهربانم،

پسر نازنینم سید علی رضا

و تمامی اعضاء خانواده‌ام

که بدون حمایت و دلگرمیشان به نتیجه رساندن این رساله و به
پایان بردن دروغه تحقیقاتی برایم میسر نبود.

چکیده:

از مسائل اساسی در حسگرهای فیبر نوری جداسازی اثرات دمایی و افزایش حساسیت حسگرها نسبت به پارامتر فیزیکی مورد نظر است. ساختار فیبرهای معمولی بگونه‌ای است که حساسیت نسبتاً ضعیفی نسبت به پارامتر فشار دارند و در مقابل بدلیل حضور ناخالصی در مغزی آنها اثرات قوی ترموموپتیکی در آنها مشاهده می‌شود، که به موجب آن حساسیت متقابل فشار و دما در آنها شدید است. فیبرهای نوری مبتنی بر ساختار ریز (MOF)، متشکل از ماده سیلیکا هستند و کانال‌های هوا در طول فیبر و در اطراف مغزی آن‌ها بصورت کاتورهای و یا متناوب توزیع شده‌اند. اثرات ترموموپتیکی در MOF بدلیل عدم حضور ناخالصی در مغزی و حضور کانال‌های هوا، نسبت به فیبرهای متدالو ضعیفتر است. اثرات ضعیفتر دمایی در فیبرهای MOF باعث شد تا بخشی از رساله بر روی کاربرد MOF در حوزه سنسورهای فیبر نوری متمرکز شود. در این رساله، طی مراحلی یک نمونه مبدل مکانیکی به منظور افزایش حساسیت به فشار و تبدیل فشار هیدرولاستاتیک به کرنش محوری، طراحی و ساخته می‌شود و در ادامه با استفاده از سه نوع MOF، چندین نوع حسگر ساخته و نسبت به برخی پارامترهای فیزیکی نظری فشار، دما، کرنش، خمش و پیچش مشخصه‌یابی شده است. در طراحی و ساخت مبدل مکانیکی، کاربرد نصب در درون چاههای نفت و گاز مورد نظر بوده و مشخصه‌های بازه اندازه‌گیری و دقت حسگر منطبق بر نیازهای صنعت نفت تنظیم شده است. مبدل مکانیکی از سه لوله تو در تو تشکیل شده بطوریکه هر سه لوله از یک سر به هم جوش خورده و لوله درونی از یک سمت باز و از سمت دیگر بسته است. لوله بیرونی به بدنه مخزن فشار آب‌بند شده و بنابراین لوله میانی از اعمال فشار محافظت می‌شود. با اعمال فشار، لوله درونی که از یک انتهای بسته است، نسبت به لوله میانی که از فشار محافظت می‌شود، تغییر طول نسبی ایجاد می‌کند که با نصب حسگر فیبر نوری نوع فابری-پروی بر روی آن، کرنش ناشی از فشار اندازه‌گیری می‌شود. حسگر فشار که شامل مبدل مکانیکی و حسگر فابری-پرو است، دارای حساسیت دمایی است که بصورت حساسیت متقابل فشار و دما در نظر گرفته می‌شود. حذف اثرات دمایی در این حسگر از اهمیت ویژه‌ای برخوردار است. اثر متقابل فشار و دما با ایده جایگزینی فیبر انکاسی در کاواک فابری-پرو با سیم نازک فلزی، تا حدود قابل ملاحظه‌ای حل می‌شود. در این مرحله نمونه حسگرهای مختلفی به منظور اندازه‌گیری ضرایب انبساط دمایی بخش‌های مختلف حسگر فشار ساخته شده است. بمنظور تحلیل داده‌های تجربی آزمایش و محاسبه گاف هوا در کاواک فابری-پرو از تکنیک مرکز جرم استفاده شد که بعنوان نتیجه استفاده از الگوریتم مرکز جرم، دقت اندازه‌گیری را نسبت به محاسبه به روش معمول تا بیش از ۲۰ مرتبه افزایش داده است. در

نهایت در نمونه حسگر فشار و دمای بهینه‌سازی شده که در آن حد اکثر حساسیت فشار ایجاد شده و حساسیت متقابل فشار و دما تا حد ممکن کاهش یافته، حساسیت به فشار و دما به ترتیب $3.107 \times 10^{-7} / ^\circ C$ و $4.96 \times 10^{-7} / ^\circ C$ و حساسیت متقابل فشار و دمای $1.7 \text{ psi} / ^\circ C$ ، اندازه‌گیری شد. این حسگر قابلیت اندازه‌گیری فشار در بازه psi ۰ تا 10000 psi را با تفکیک پذیری بیشتر از $\pm 11.5 \text{ psi}$ دارد است. پس از ساخت و مشخصه‌یابی حسگر بهینه‌سازی شده فشار، نمونه حسگر دمایی با حساسیت دمایی $12.66 \times 10^{-6} / ^\circ C$ و تفکیک پذیری $\pm 0.07 ^\circ C$ ساخته شد.

بدلیل کاربرد وسیعی که MOF‌ها در طراحی و ساخت حسگرهای فیبر نوری نسل جدید، پیدا نموده‌اند، بخش عمده‌ای از تحقیقات این رساله بر روی کاربرد سه ساختار متفاوت MOF در ساخت تعدادی حسگر فیبر نوری و مشخصه‌یابی آنها در اعمال پارامترهای فیزیکی نظری کرنش محوری، دما، خمش و پیچش متتمرکز شده است. MOF‌های مورد نظر شامل فیبر مغزی-ملقق در هوا (SCF)، فیبر فوتونیک کریستالی از نوع مغزی-هوا (HC-PCF) و فیبرهای ARROW هستند که بطور مختصر به اصول کار و کاربرد آنها پرداخته می‌شود. در ادامه حسگرهای فابری-پرو مبتنی بر دو نوع SCF برای کرنش، فشار و دما مشخصه‌یابی شده و میزان حساسیت آنها مقایسه می‌شوند. همچنین با استفاده از خاصیت دوشکستی ناچیزی که در SCF ملاحظه شده، با روش قطبیش سنجی و استفاده از تداخل سنج ساگناک، میزان حساسیت به فشار حسگر بررسی شده است. سپس با استفاده از فیبرهای HC-PCF، نمونه حسگرهای تداخل مدی ساخته شده و برای کرنش، دما و خمش مشخصه‌یابی می‌شوند. به منظور استفاده عملیاتی از این حسگر و اندازه‌گیری حساسیت و تفکیک پذیری حسگر، با استفاده از تکنیک تداخل سنج فیبر نوری با همدوسی کم (FOLCI)، تغییرات فاز در حسگر تداخل مدی در حین اعمال پارامترهای فیزیکی اندازه‌گیری شده است. طیف نور عبوری از HC-PCF دارای مشخصه لبه گاف ممنوعه فوتونیکی است، که مشخصه‌یابی آن نسبت به پارامترهای فیزیکی شامل کرنش، دما، خمش و پیچش انجام شده و بعنوان حسگر بررسی و پیشنهاد شده است. در ادامه نمونه حسگرهای تداخل مدی بر مبنای فیبرهای ARROW ساخته شده و برای پارامترهای فیزیکی کرنش، دما مشخصه‌یابی شده است. برای این نمونه حسگر نیز با استفاده از تکنیک FOLCI، تغییرات فاز تداخل سنج مدی نسبت به تغییرات پارامتر فیزیکی اندازه‌گیری شده و میزان حساسیت و تفکیک پذیری حسگر بدست آمده است.

اندازه‌گیری فشار بالا و دما با استفاده از حسگرهای فابری-پرو و فوتونیک کریستال فیبر نوری

صفحه	فهرست مطالب
۱	پیشگفتار
۵	۱ - مقدمه
۱۲	۲- مروری بر چند نمونه حسگر فشار و دمای فیبر نوری.
۱۲	۱-۲ حسگر توری براگ فیبر نوری
۱۳	۱-۱-۲ اثر کرنش، دما و فشار بر روی FBG
۱۴	۲-۱-۲ روش های ساخت FBG
۱۵	۳-۱-۲ روش های وامدولاسیون سیگنال FBG
۱۷	۴-۱-۲ اندازه‌گیری فشار و دما با استفاده از FBG
۲۷	۲-۲ حسگر فابری-پروی فیبر نوری
۳۰	۱-۲-۲ تحلیل مدی حسگر EFPI تک مد
۳۵	۲-۲-۲ وضوح فریزهای تداخلی در حسگر تک مد EFPI
۳۳	۳-۲-۲ تاثیر کرنش و دما بر روی حسگر EFPI
۳۸	۳-۲ حسگرهای توزیعی
۴۱	۳- تحلیل و طراحی حسگر فشار و دمای فیبر نوری
۴۱	۱-۳ تحلیل یک اسپوانه توخالی در فشار و دمای استاتیک
۴۷	۲-۳ مبدل مکانیکی فشار با کرنش طولی
۴۹	۳-۳ جداسازی اثرات متقابل فشار و دما
۵۳	۴-۳ طراحی حسگر فشار و دمای فیبر نوری
۵۷	۵-۳ نتایج شبیه‌سازی مبدل مکانیکی فشار
۶۲	۴- مروری بر فیبرهای نوری بر پایه ساختار ریز و کاربرد آنها در حسگرهای فیبر نوری
۶۲	۱-۴ مقدمه
۶۴	۲-۴ فیبرهای نوری بر پایه ساختار ریز از نوع SCF
۶۹	۳-۴ فیبرهای نوری بر پایه ساختار ریز از نوع HC-PCF
۷۸	۴-۴ فیبرهای نوری بر پایه ساختار ریز از نوع ARROW

۵- ارائه نتایج تجربی حاصل شده در ساخت و تست حسگر فشار و دمای فیبر نوری ۸۳	۸۳
۱- مقدمه ۸۳	۸۳
۲-۵ سیستم اعمال فشار و دما و چیدمان ساخت EFPI ۸۴	۸۴
۳-۵ پردازش داده‌ها از طریق برنامه کامپیوترا بمنظور تحلیل سریعتر و دقیق‌تر داده‌ها ۸۹	۸۹
۴-۵ ساخت و مشخصه‌یابی نمونه حسگر اولیه ساخته شده ۹۶	۹۶
۵-۵ ساخت و مشخصه‌یابی نمونه حسگرهای بهینه سازی شده ۱۰۰	۱۰۰
۶- نتایج تجربی ساخت و تست حسگرهای مبتنی بر MOFs ۱۲۱	۱۲۱
۱-۶ ساخت و مشخصه‌یابی حسگرهای فیبر نوری مبتنی بر SCF ۱۲۱	۱۲۱
۲-۶ ساخت و مشخصه‌یابی حسگرهای فیبر نوری مبتنی بر HC-PCF ۱۲۹	۱۲۹
۳-۶ ساخت و مشخصه‌یابی حسگر مبتنی بر فیبرهای ARROW ۱۴۴	۱۴۴
۷- جمع بندی ۱۴۸	۱۴۸
۷- مراجع ۱۵۳	۱۵۳
۸- پیوستها ۱۶۳	۱۶۳

فهرست شکل‌ها

صفحه

شکل (۱-۱): نمایش شماتیک از چیدمان مربوط به تعدادی از حسگرهای فیبر نوری [۳]	۶
شکل (۱-۲) طرح شماتیک از اصول کار حسگر توری برآگ	۱۲
شکل (۲-۲): روش‌های ساخت FBG (الف) روش تداخل‌سنجدی [۱۷]؛ (ب) ماسک فازی [۱۸]؛ (ج) روش نقطه به نقطه [۱۹]	۱۵
شکل (۲-۳): طرح شماتیکی از روش وامدولاسیون سیستم FBG چهارتایی با استفاده از یک فیلتر FFP [۲۱]	۱۶
شکل (۴-۲): طرح شماتیکی از روش وامدولاسیون سیستم FBG چهارتایی با استفاده از یک طیفسنج CCD که به فیبر کوپل می‌شود [۲۱]	۱۶
شکل (۵-۲): طرح شماتیکی از روش وامدولاسیون سیستم FBG با استفاده از یک تداخل‌سنجدی فیبر نوری [۲۱]	۱۷
شکل (۶-۲): طرح شماتیکی از حسگر فشار FBG [۱۵]	۱۸
شکل (۷-۲): چینش حسگر فشار FBG با استفاده از محفظه حباب شیشه‌ای و نمونه‌ای از حباب شیشه‌ای [۲۴]	۱۸
شکل (۸-۲): بهره تئوری در حساسیت به فشار [۲۶]	۱۹
شکل (۹-۲): روکش گذاری شده (الف) با یک پلیمر تنها؛ (ب) دو پلیمر متفاوت در دو قسمت از FBG [۲۷]	۲۱
شکل (۱۰-۲): حسگر فشار شامل یک FBG جاسازی شده درون استوانه فلزی پر شده از پلیمر است [۲۸]	۲۲
شکل (۱۱-۲): ساختار حسگر تفاضلی FBG برای دما و فشار بالا [۲۹]	۲۳
شکل (۱۲-۲): (الف) عنصرفعال در حسگر فشار FBG؛ (ب) تیغه یک سرگیر به شکل مثلث متساوی الساقین [۲۹]	۲۳
شکل (۱۳-۲): تغییر طول موج برآگ در اثر (الف) تغییر فشار؛ (ب) تغییر دما [۲۹]	۲۵
شکل (۱۴-۲): پاسخ به فشار سه نوع از حسگرهای FBG [۳۱]	۲۶
شکل (۱۵-۲): پاسخ به فشار و دمای حسگر FBG با فیبر نوری حفره جانبی [۳۱]	۲۷
شکل (۱۶-۲): تداخل‌سنجدی فابری-پرو، P_r و P_t به ترتیب بیانگر توان فرودی، بازتابی و عبوری هستند	۲۷
شکل (۱۷-۲): منحنی بازتاب R_{FP} یک FPI کم اتلاف بر حسب فاز ϕ [۳۲]	۲۸
شکل (۱۸-۲): ساختارهای مختلف حسگر IFPI (الف) کواک شکل گرفته توسط	

یک آینه داخلی و انتهای فیبر؛ (ب) کاواک شکل گرفته توسط دو آینه درونی؛ (ج) کاواک شکل گرفته توسط دو FBG	۲۹
شکل (۱۹-۲): ساختارهای مختلف EFPI: (الف) کاواک شکل گرفته توسط انتهای فیبر و دیافراگم؛ (ب) کاواک شکل گرفته توسط یک فیلم و انتهای فیبر؛ (ج) کاواک شکل گرفته در داخل تیوب شیشه‌ای توسط انتهای دو فیبر نوری تک مد و چند مدی؛ (د) کاواک شکل گرفته توسط انتهای فیبرهای تک مد که به یک فیبر تو خالی جوش حرارتی داده شده.	۲۹
شکل (۲۰-۲): نمایش شماتیکی از حسگر EFPI [33]	۳۰
شکل (۲۱-۲): سیستم مختصات برای تحلیل حسگر EFPI	۳۱
شکل (۲۲-۲): توزیع شدت میدان الکتریکی (الف) E_1 ، برای فیبر تک مد استاندارد و (ب) E_2' ، پس از طی مسافت گاف هوا d [33]	۳۲
شکل (۲۳-۲): شیفت فاز القا شده θ توسط کوپل شدگی به صورت تابعی از طول گاف d برای یک فیبر تک مد استاندارد [33]	۳۴
شکل (۲۴-۲): نمایش شماتیکی از انحراف زاویه‌ای در حسگر EFPI	۳۵
شکل (۲۵-۲): پارامتر وضوح فریزها به صورت تابعی از طول گاف حسگر EFPI در زاویه‌های انحراف مختلف [33]	۳۶
شکل (۲۶-۲): پارامتر وضوح فریز به صورت تابعی از زاویه انحراف برای حسگر EFPI تک مد با طول گاف‌های مختلف [33]	۳۷
شکل (۲۷-۲): نمایش شماتیکی از حسگر فابری-پرو فیبر نوری.	۳۸
شکل (۲۸-۲): (الف) نمونه‌ای از نور ورودی با پهنه‌ای باند وسیع؛ (ب) طیف نور تداخل یافته.	۳۸
شکل (۲۹-۲): شکل (۲۹-۲): (الف) دیاگرام تراز انرژی و طیف انرژی پراکندگی رامان و (ب) دیاگرام تراز انرژی و طیف انرژی پراکندگی بریلوئن (ج) مشخصات طیفی پراکندگی رامان و بریلوئن [3]	۴۰
شکل (۳-۱): نمایش شماتیک از لوله دو سر گیر.	۴۲
شکل (۳-۲): نمایش المان در دستگاه قطبی.	۴۳
شکل (۳-۳): نمایش شماتیک از لوله یک سر گیر.	۴۴
شکل (۴-۳): منحنی تنش بر حسب کرنش برای فلزات.	۴۶
شکل (۳-۵): نمایش شماتیکی از ساختار مبدل مکانیکی به منظور تبديل فشار به کرنش طولی.	۴۷

شکل (۳-۶): نمایش شماتیک از مبدل مکانیکی در حالت جبران‌سازی دما	۵۱
شکل (۷-۳): نمایش شماتیک از جبران‌سازی دمای حسگر EFPI	۵۲
شکل (۸-۳): نمودار تغییرات تنש‌های نرمالیزه مماسی، محوری وشعاعی برحسب نسبت a/b	۵۵
شکل (۹-۳): مدل Axisymmetric ساخته شده برای مدل‌سازی در ANSYS	۵۷
شکل (۱۰-۳): کانتور تغییرات تنش Von-Misses روی سطح مدل دو بعدی	۵۸
شکل (۱۱-۳): نمودار تغییرات تنش Von-Misses بین دو نقطه از مدل روی جداره داخلی لوله	۵۸
شکل (۱۲-۳): نمودار تغییرات تنش σ بین دو نقطه از مدل روی جداره داخلی لوله	۵۹
شکل (۱۳-۳): نمودار تغییرات تنش ϵ بین دو نقطه از مدل روی جداره داخلی لوله	۵۹
شکل (۱۴-۳): نمودار تغییرات تنش Von-Misses بین دو نقطه از مدل روی جداره داخلی لوله	۶۰
شکل (۱۵-۳): نمودار تغییرات تنش σ بین دو نقطه از مدل روی جداره داخلی لوله	۶۰
شکل (۱۶-۳): نمودار تغییرات تنش ϵ بین دو نقطه از مدل روی جداره داخلی لوله	۶۰
شکل (۱۷-۳): نمودار تغییرات تنش Von-Misses بین دو نقطه از مدل روی جداره داخلی لوله	۶۱
شکل (۱۸-۳): نمودار تغییرات تنش σ بین دو نقطه از مدل روی جداره داخلی لوله	۶۱
شکل (۱-۴): (الف) فیبرهای فوتونیک کریستال؛ (ب) فیبرهای با مغزی معلق در هوا؛ (ج) فیبرهای با مغزی معلق در غلاف؛ (د) فیبرهای با سوراخ‌های کاتورهای در غلاف؛ (ه) low index core؛ (ر) فیبر فرنل.	۶۲
شکل (۲-۴): تصویر مقطع عرضی از SCF [54]	۶۵
شکل (۳-۴): منحنی تغییرات کسر توان موجود در سوراخ‌های اطراف مغزی بر حسب شعاع مغزی در طول موج 1550 nm [54]	۶۶
شکل (۴-۴): (چپ) نمایش شماتیک از چیدمان آزمایش [54]؛ (راست) طیف جذب گاز استیلن بدست آمده در آزمایش [54]	۶۶
شکل (۵-۴): (چپ) چیدمان تداخل سنج ساگناک [55]؛ (راست) تصویر مقطع عرضی از SCF استفاده شده در آزمایش [55]	۶۷
شکل (۶-۴): پاسخ طیفی بدست آمده در تحلیل گر طیفی [55]	۶۸
شکل (۷-۴): منحنی جابجایی مینیمم نزدیک به طول موج 1530 nm برحسب کرنش و دما [55]	۶۸

- شكل (۴-۸): (راست) سطح مقطع اولین فیبر فوتونیک کریستال از نوع index guiding که در سال ۱۹۹۵ ساخته شده و قطر سوراخ‌های هوا در آن 300 nm و فاصله مراکز سوراخ‌ها برابر $2/3\text{ }\mu\text{m}$ [50]؛ (چپ) سطح مقطع اولین فیبر HC-PCF که در سال ۱۹۹۹ ساخته شده و قطر مغزی آن $14/8\text{ }\mu\text{m}$ و فاصله مراکز سوراخ‌های هوا در غلاف $4/9\text{ }\mu\text{m}$ است [59] ۶۹
- شكل (۴-۹): دیاگرام انتشار در فیبرهای فوتونیک کریستال [65] ۷۰
- شكل (۴-۱۰): نمایش شماتیک از مراحل ساخت فیبر فوتونیک کریستال موسوم به Stack-and-draw ۷۱
- شكل (۱۱-۴): روش‌های ساخت انواع فیبرهای فوتونیک کریستال (a) Hi-Bi PCF (b) doped core (c) 19-cell HC-PCF (d) index guiding PCF ۷۲
- شكل (۱۲-۴): تصاویر SEM از HC-PCF شرکت Blaze Photonics از نوع (الف) 7-cell؛ (ب) 19-cell؛ (ج) نمای نزدیکتر از مغزی 19-cell ۷۲
- شكل (۱۳-۴): (الف) سطح مقطع فیبر HC-PCF استفاده شده [74]؛ (ب) تصویر نمونه کاوک ساخته شده [74]؛ (ج) چیدمان آزمایش [74] ۷۳
- شكل (۱۴-۴): نتایج بدست آمده از تست دما، انحنا و کرنش [74] ۷۴
- شكل (۱۵-۴): پاسخ نمونه فیبر قرار داده شده در یک تداخل سنج ساگنانک در تست دما و کرنش [77] ۷۵
- شكل (۱۶-۴): (الف) تلفات مدهای فیبر در یک فیبر 19-cell؛ (ب) ساختار پیشنهادی برای تک مد کردن فیبر 19-cell و توزیع شدت مد اصلی [78]؛ (ج) اتفاف مدها در ساختار پیشنهادی [78] ۷۶
- شكل (۱۷-۴): منحنی ضریب شکست مؤثر مدهای مغزی هر سه نوع فیبر (n_{eff})، ضریب اتفاف محدودسازی (CL) مدها و ضریب پراکندگی سطحی (F/A) مدها برای فیبرهای (الف) 3-cell [79]؛ (ب) 7-cell [79]؛ (ج) 19-cell [79] ۷۷
- شكل (۱۸-۴): طیف میدان نزدیک مربوط به فیبرهای (الف) 3-cell؛ (ب) 7-cell؛ (ج) 19-cell به ازای طول‌های مختلف در شرایط (سمت چپ) نور ورودی در وضعیت بهینه تزویج به مد اصلی مغزی (Optimum lunch) و (سمت راست) نور ورودی در وضعیت جابجایی عرضی (Offset lunch) [79] ۷۸
- شكل (۱۹-۴): سه ساختار متداول برای ARROW شامل (الف) موجبرهای تخت؛ (ب) موجبرهای فیبری از نوع لایه‌های حلقوی هم مرکز؛ ۷۸

۷۹	(ج) موجبرهای فیبری از نوع MOF
	شکل (۲۰-۴): تزویج مدهای مغزی به حفره‌های اطراف با نزدیک شدن به تشید طول
	$d = 3.315 \mu m, \Lambda = 5.64 \mu m$ موجی حفرها در ARROW فیبری با مشخصات
	$n_1 = 1.44, n_2 = 1.8, 866/6 nm$ در طول موج‌های (الف) (ب) $865/4 nm$
۸۱	[93] $867/2 nm$ (د) $866/9 nm$ (ج)
۸۲	شکل (۲۱-۴): نمایش شماتیک از فیلتر قابل تنظیم بواسطه اعمال دما.
۸۵	شکل (۱-۵): تصویر سیستم اعمال فشار.
۸۵	شکل (۲-۵): طرح شماتیکی از نگهدارنده حسگر دمای الکتریکی
۸۶	شکل (۳-۵): تصویر مخزن فشار بالا و ژاکت دمایی.
	شکل (۴-۵): منحنی تغییرات فشار و دما (الف) اثر تغییرات دما بر فشار
۸۶	(ب) اثر تغییرات فشار بر دما
۸۷	شکل (۵-۵): طرح شماتیک از یک کاواک فابری-پرو نوع بیرونی
۸۸	شکل (۶-۵): طرح شماتیک از چیدمان ساخت حسگر EFPI
۸۸	شکل (۷-۵): تصویر چیدمان ساخت حسگر EFPI
	شکل (۸-۵): نمودار تغییرات گاف هوا با دما برای هفت گاف بدست آمده از
۸۹	هشت نقطه ماگزینم پی درپی
۹۱	شکل (۹-۵): نویز موجود در سیگنال EFPI
۹۲	شکل (۱۰-۵): اثر الگوریتم میانگین‌گیری داده‌ها با پنجره τ , به ازای مقادیر مختلف τ .
۹۳	شکل (۱۱-۵): نمایش شماتیک از تشخیص موقعیت مرکز جرم در یک سیگنال متقارن.
۹۴	شکل (۱۲-۵): فلوچارت الگوریتم برنامه یافتن گاف هوا از طیف فابری-پرو
۹۵	شکل (۱۳-۵): طیف تداخلی EFPI که در دمای $23^{\circ}C$ و فشار 0 psi گرفته شده
	شکل (۱۴-۵): منحنی تغییرات گاف هوا با گذشت زمان در دمای ثابت
۹۵	آزمایشگاهی و فشارهای مختلف
۹۸	شکل (۱۵-۵): طرح شماتیک چینش آزمایشگاهی کالیبراسیون حسگر فشار فیبر نوری
	شکل (۱۶-۵): نمودار جابجایی طول موج برآگ در حالت‌های (الف) افزایش
۹۸	و (ب) کاهش فشار
۹۹	شکل (۱۷-۵): طرح شماتیک محفظه گرمایی و ادوات جانبی آن
	شکل (۱۸-۵): نمودار جابجایی طول موج برآگ در حالت‌های (الف) افزایش
۱۰۰	و (ب) کاهش دما

شکل (۱۹-۵): طرح شماتیک از اجزاء مبدل مکانیکی مدل ۲	۱۰۱	OFPTS-2
شکل (۲۰-۵): منحنی تجربی پاسخ حسگر ۱ OFPTS-2-FBG-1 به تغییرات فشار	۱۰۲	
شکل (۲۱-۵): طرح شماتیک از حسگر EFPI برای ساخت ۱	۱۰۳	OFPTS-2-EFPI-1
شکل (۲۲-۵): طرح شماتیک از نصب حسگر EFPI بر روی مبدل مکانیکی		
برای ساخت ۱ OFPTS-2-EFPI-1	۱۰۳	
شکل (۲۳-۵): نمایش شماتیک از چیدمان تست دمایی حسگر فیبر نوری	۱۰۴	
شکل (۲۴-۵): منحنی تجربی پاسخ حسگر ۱ OFPTS-2-EFPI-1 به تغییرات فشار و دما	۱۰۴	
شکل (۲۵-۵): طرح شماتیک از نصب حسگر EFPI بر روی مبدل مکانیکی		
برای ساخت ۲ OFPTS-2-EFPI-2	۱۰۵	
شکل (۲۶-۵): منحنی تجربی پاسخ حسگر ۲ OFPTS-2-EFPI-2 به تغییرات دما	۱۰۶	
شکل (۲۷-۵): طرح شماتیک و تصویر مبدل مکانیکی مدل ۳	۱۰۷	OFPTS-3
شکل (۲۸-۵): طرح شماتیک از حسگر EFPI برای ساخت ۱	۱۰۸	OFPTS-3-EFPI-1
شکل (۲۹-۵): طرح شماتیک از نصب حسگر EFPI بر روی مبدل مکانیکی		
برای ساخت ۱ OFPTS-3-EFPI-1	۱۰۸	
شکل (۳۰-۵): نمایش شماتیک از چیدمان تست فشار حسگر فیبر نوری	۱۰۹	
شکل (۳۱-۵): منحنی تغییرات گاف هوا پس از تنظیم فشار	۱۰۹	
شکل (۳۲-۵): منحنی تجربی پاسخ حسگر ۱ OFPTS-3-EFPI-1 به تغییرات فشار	۱۱۰	
شکل (۳۳-۵): منحنی پایداری گاف هوا در شرایط دمایی (الف) $40^{\circ}C$ و (ب) $45^{\circ}C$	۱۱۰	
شکل (۳۴-۵): منحنی تجربی پاسخ حسگر ۱ OFPTS-3-EFPI-1 به تغییرات دما	۱۱۱	
شکل (۳۵-۵): طرح شماتیک از حسگر EFPI برای ساخت ۲	۱۱۲	OFPTS-3-EFPI-2
شکل (۳۶-۵): منحنی تجربی پاسخ حسگر ۲ OFPTS-3-EFPI-2 به تغییرات فشار	۱۱۲	
شکل (۳۷-۵): منحنی تجربی پاسخ حسگر ۲ OFPTS1-3-EFPI-2 به تغییرات فشار در دماهای مختلف	۱۱۳	
شکل (۳۸-۵): منحنی تجربی پاسخ حسگر EFPI به تغییرات دما بمنظور اندازه‌گیری CTE لوله موئین (الف) تست اول؛ (ب) تست دوم	۱۱۴	
شکل (۳۹-۵): طرح شماتیک از حسگر EFPI بمنظور اندازه‌گیری CTE سیم نازک برنجی	۱۱۵	
شکل (۴۰-۵): منحنی تجربی پاسخ حسگر EFPI به تغییرات دما در دو بار تست مجزا بمنظور اندازه‌گیری CTE سیم نازک برنجی	۱۱۵	
شکل (۴۱-۵): منحنی تجربی پاسخ حسگر EFPI به تغییرات دما		

116	بمنظور اندازه‌گیری CTE مبدل مکانیکی
شکل (۴۲-۵): منحنی تجربی پاسخ حسگر 3-EFPI-3 به تغییرات فشار در دماهای (الف) ۲۲ °C؛ (ب) ۴۰ °C؛ (ج) ۶۰ °C	
117	
شکل (۴۳-۵): منحنی تجربی پاسخ حسگر 3-EFPI-3 به تغییرات فشار در سه دمای مختلف (الف) آزمایش اول؛ (ب) آزمایش دوم	
118	
شکل (۴۴-۵): نمونه‌ای از پایداری داده‌های ثبت شده با گذشت زمان در سه دمای مختلف	
119	
شکل (۴۵-۵): تست دمایی حسگر دما	
120	
شکل (۱-۶): تصویر فیبرهای SC استفاده شده در آزمایش	
122	
شکل (۲-۶): مقایسه طیف تداخلی کاواک فابری-پرو قبل و بعد از اتصال فیبر HC-PCF	
123	
شکل (۳-۶): نمایش شماتیک از چیدمان آزمایش برای مشخصه‌یابی حسگر فابری-پرو	
123	
شکل (۴-۶): پاسخ حسگر فابری-پرو ساخته شده با فیبرهای SC نوع سه حفره‌ای و چهار حفره‌ای در تست (الف) کرنش؛ (ب) دما	
124	
شکل (۵-۶): نتایج تست فشار و دمای حسگر فابری-پرو بر پایه فیبر SC چهار حفره‌ای	
127	
شکل (۶-۶): چینش آزمایشگاهی مشخصه‌یابی حسگر تداخل سنج قطبشی بر پایه فیبر SC چهار حفره‌ای	
128	
شکل (۷-۶): طیف تداخل مربوط به حسگر تداخل سنج قطبشی بر پایه فیبر SC چهار حفره‌ای	
128	
شکل (۸-۶): پاسخ چسگر تداخل سنج قطبشی ساخته شده با فیبرهای SC نوع چهار حفره‌ای در تست فشار	
129	
شکل (۹-۶): طیف نرمالیزه عبوری و (ب) تصویر سطح مقطع از HC-PCF	
130	
شکل (۱۰-۶): نمایش شماتیک از چیدمان آزمایش مشخصه‌یابی حسگر تداخل سنج مدل HC-PCF	
130	
شکل (۱۱-۶): (چپ) طیف تداخلی از نمونه حسگر تداخل مدل ساخته شده و (راست) تصویر محل اتصال حرارتی HC-PCF با SMF-28 در جهت محور X و Y	
131	
شکل (۱۲-۶): تداخل مدل در سه حسگر با طول‌های مختلف	
132	
شکل (۱۳-۶): نمایش شماتیک از روش اعمال خمسن به حسگر تداخل مدل	
133	
شکل (۱۴-۶): پاسخ کرنش و دمای حسگر تداخل مدل	
134	
شکل (۱۵-۶): جابجایی طیف در سه دما و کرنش مختلف در طیف تداخلی	
134	

..... شکل (۱۶-۶): نمایش شماتیک از تکنیک تداخل سنجی FOLCI	۱۳۶
..... شکل (۱۷-۶): نمایش شماتیک از چیدمان آزمایش اندازه‌گیری تغییر فاز در حسگر تداخل سنج مدی بكمک تکنیک FOLCI	۱۳۸
..... شکل (۱۸-۶): (الف) نمونه‌ای از سیگنال افت فاز (ب) نمودار سیگنال اصلی و سیگنال تصحیح شده در تغییرات پله‌ای کرنش	۱۳۹
..... شکل (۱۹-۶): نتایج تست کرنش و دمای حسگر تداخل مدی به روش FOLCI	۱۴۰
..... شکل (۲۰-۶): نمودار پله فازی و نوسانات فاز در آن متناظر با (الف) پله کرنش و (ب) پله دما	۱۴۱
..... شکل (۲۱-۶): طیف تضعیف از HC-PCF استفاده شده در آزمایش و تصویر سطح مقطع آن	۱۴۲
..... شکل (۲۲-۶): نمایش شماتیک از چیدمان آزمایش	۱۴۳
..... شکل (۲۳-۶): (الف) جابجایی لبه PBG با کرنش؛ (ب) تغییرات اتلاف در طول موج میانی لبه PBG؛ (ج) تغییرات اتلاف در طول موج میانی PBG	۱۴۴
..... شکل (۲۴-۶): (الف) جابجایی طیف PBG با تغییرات دما؛ (ب) تغییرات اتلاف لبه پایین PBG در حین افزایش دما	۱۴۵
..... شکل (۲۵-۶): تغییرات طیف PBG در تست خمس	۱۴۶
..... شکل (۲۶-۶): (الف) تغییرات طیف PBG در حین تغییر پیچش؛ (ب) تغییرات اتلاف در ناحیه میانی لبه PBG بر حسب مقادیر مختلف پیچش	۱۴۷
..... شکل (۲۷-۶): نمایش شماتیک از چیدمان آزمایش اندازه‌گیری فاز با استفاده از تکنیک FOLCI	۱۴۸
..... شکل (۲۸-۶): تصویر سطح مقطع فیبرهای ARROW (الف) نوع ۱ و (ب) نوع ۲	۱۴۹
..... شکل (۲۹-۶): نمونه‌ای از طیف تداخلی از نمونه حسگرهای تداخل مدی ساخته شده از فیبرهای ARROW نوع ۱ و ۲	۱۵۰
..... شکل (۳۰-۶): تغییر فاز ناشی از اعمال (الف) کرنش و (ب) اعمال دما، به دو حسگر تداخل مدی ساخته شده از دو نوع فیبر ARROW	۱۵۱
..... شکل (۳۱-۶): نمودار پله فازی و نوسانات فاز در آن متناظر با (الف) پله کرنش و (ب) پله دما	۱۵۲

فهرست جداول‌ها:

صفحه

جدول (۱-۱): لیست تعدادی از حسگرهای فیبر نوری نصب شده در چاههای نفت [۵]	۸
جدول (۱-۲): نتایج حاصل از اندازه‌گیری حساسیت توری‌های برآگ بدون روکش و با روکش [۲۶]	۲۰
جدول (۱-۵): تحلیل آماری نتایج تجربی (مقادیر بر حسب μm)	۹۰
جدول (۲-۵): تحلیل آماری محاسبه گاف هوا برای دو حالت محاسبه مستقیم (C) و استفاده از الگوریتم مرکز جرم (M).	
(واحد پارامترهای جدول میکرون است)	۹۶
جدول (۶-۱): ضرایب حساسیت کرنش و دما برای حسگر فابری-پرو با فیبر SC سه حفره‌ای و چهار حفره‌ای	۱۲۵
جدول (۲-۶): اندازه‌گیری پارامتر واضح در بازه‌های مختلف طول موجی برای حسگرهای با طول‌های مختلف	۱۳۳
جدول (۳-۶): حساسیت هر یک از حسگرها نسبت به کرنش و دما و مقادیر مربوط به تفکیک پذیری هر یک از سنسورهای تداخل مدل	۱۴۸

پیشگفتار

در ۱۵ سال گذشته، رشد چشمگیری در حوزه تحقیق و کاربرد حسگرها مشاهده شده که نظری انقلابی که در گسترش ریزپردازنده‌ها در سال ۱۹۸۰ اتفاق افتاد، انتظار می‌رود با گسترش حسگرها تحول عظیمی در فن‌آوری‌های آینده ایجاد شود. اهمیت گسترش حسگرها و استفاده از آنها در فن‌آوری‌های آینده تا حدی است که برخی از محققین، دهه اول قرن ۲۱ (۲۰۱۰-۲۰۰۱) را دهه حسگرها نامیده‌اند. در خلال این مدت موضوع سازه‌های هوشمند فعال مطرح و از پیشرفت قابل ملاحظه‌ای برخوردار شده است. سازه‌های هوشمند متشکل از شبکه‌ای از حسگرها، واحد پردازشگر سیگنال و یک مرکز کنترل هستند. سازه‌های هوشمند عمدتاً در فن‌آوری مربوط به ساخت هوایپما، موشک، سامانه‌های فضایی، کشتی‌ها و در بدنه پلها و ساختمانها کاربرد دارند. در این میان حسگرهای فیبر نوری بعنوان زیر مجموعه‌ای از حسگرها، نقش قابل ملاحظه‌ای در بومی کردن فن‌آوری مربوط به آن و توسعه سازه‌های هوشمند تمام فیبری داشته است. حسگرهای فیبر نوری در مقایسه با حسگرهای دیگر داری ابعاد بسیار کوچک، مصنوع از تداخل الکترومغناطیسی، حساسیت بالا و قابلیت بسیار عالی در مالتی پلکس شدن هستند. امروزه فیبرهای ساختار-ریز (MOF) نیز بعنوان زیر گروهی از فیبرهای نوری، کاربرد وسیعی در حسگرهای فیبر نوری دارند و بدلیل حضور ساختارهای ریز نظری حفره‌های میکرونی هوا در اطراف مغزی آنها و خواص منحصر به فرد این نوع فیبرها، رویکردهای تازه‌ای در حوزه حسگرها ایجاد نموده‌اند. MOF‌ها دارای ساختاری متشکل از حفره‌های هوا و یا حفره‌هایی پر شده از موادی با ضریب شکست متفاوت با جنس فیبر هستند که بصورت متناوب و یا حتی کاتورهای در سطح مقطع و در طول فیبر توزیع یافته‌اند.

در طی این رساله، طراحی و ساخت یک نمونه حسگر فیبر نوری با قابلیت اندازه‌گیری فشار و دما انجام شده و با استفاده از رویکردی نو، کاربردهای جدیدی از حسگرهای فیبر نوری بر مبنای فیبرهای ساختار-ریز معرفی می‌شوند. در طراحی و ساخت حسگر فشار و دما، شرایط چاه نفت مورد نظر بوده و لذا در آزمایشگاه شرایط فشار و دمای چاه نفت ایجاد شده و حسگر مورد نظر مشخصه یابی شده است. در نمونه حسگر ساخته شده، از یک مبدل مکانیکی با قابلیت تبدیل فشار هیدرولستاتیک به کرنش محوری استفاده شده است. نمونه حسگر فیبر نوری استفاده شده از نوع حسگر فابری-پرو نوع بیرونی است. مشکل عده در حسگر فیبر نوری، مسئله حساسیت کم و تاثیر پذیری همزمان فشار و دما در آن است. به کمک مبدل مکانیکی و بهینه‌سازی آن و استفاده از روش مناسب پردازش سیگنال، حساسیت حسگر تا حد مورد نظر افزایش یافت و با تغییراتی که در ساختار کاواک فابری-پرو نوع بیرونی داده شد امکان حذف اثرات دمایی بر روی حسگر فشار فراهم